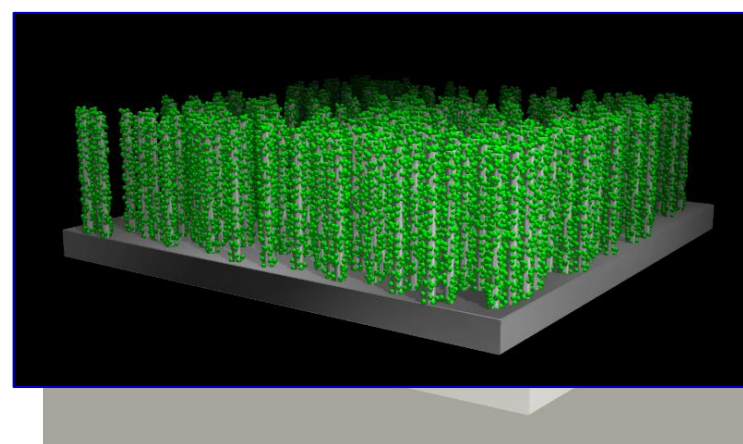
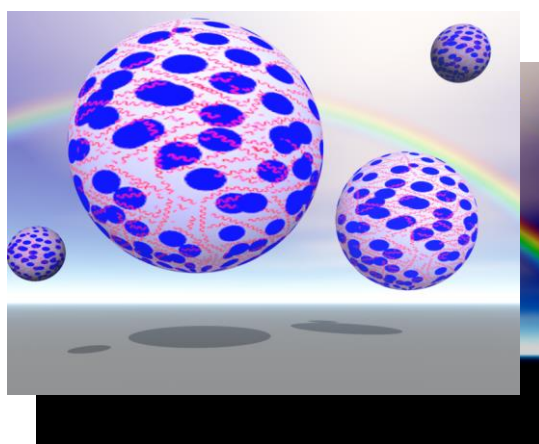
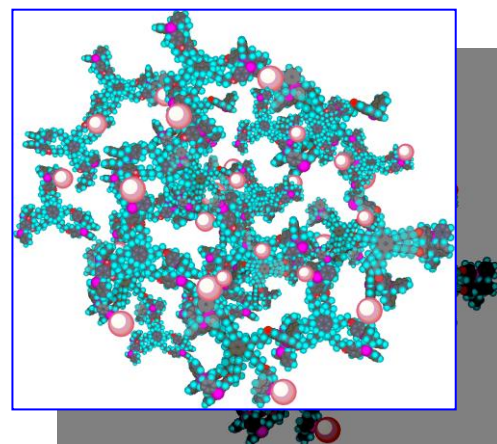


高活性固定化触媒の開発と 省資源型有機変換反応への応用



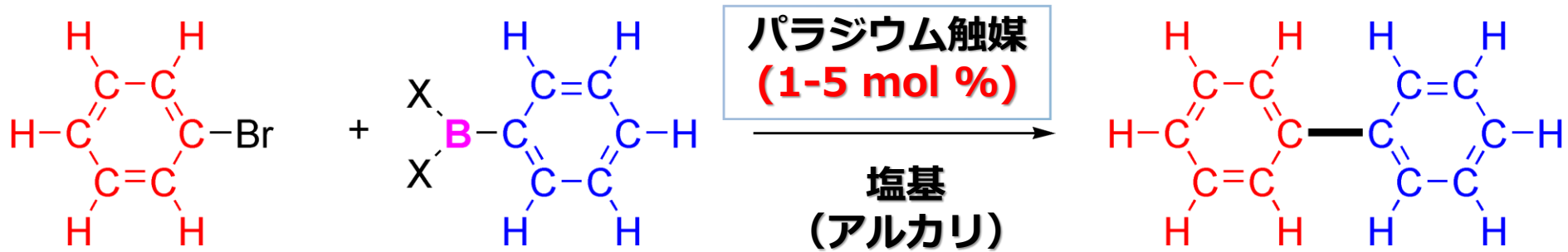
国立研究開発法人理化学研究所
環境資源科学研究センター・チームリーダー

(兼) 埼玉大学大学院理工学研究科連携教授・台湾国立中興大学理学部物理学科客員教授

山田 陽一 Yoichi M. A. YAMADA

鈴木-宮浦カップリングの発見（1979 鈴木, 宮浦）

非常に実用性の高いクロスカップリング反応の開発に成功した。



→ 医薬品合成, 工業的利用にも容易に使用できる反応を実現

しかし、高価なパラジウムを大量に使用
(触媒1から生成物が20~100程度しかできない)

触媒は溶媒に溶けている (=均一系触媒) ので、回収・再利用が困難もしくは不可能

→ **SDGsに立脚した固体触媒の開発が重要**

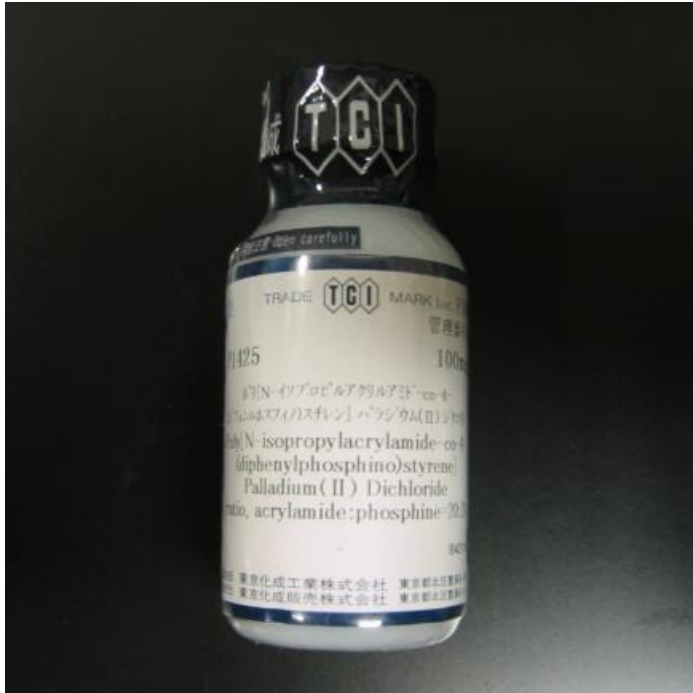
SUSTAINABLE
DEVELOPMENT GOALS

世界を変えるための17の目標

12 つくる責任
つかう責任



私達が開発した 市販化触媒

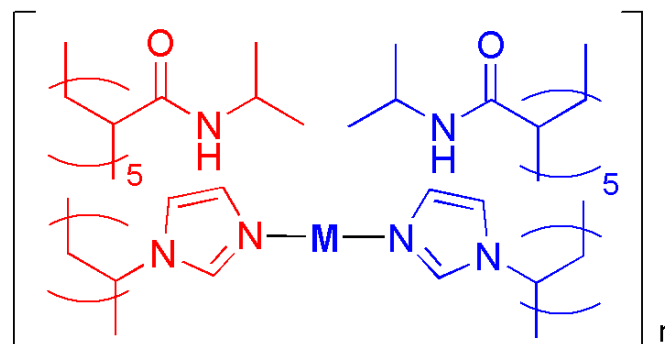
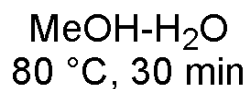
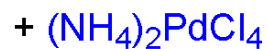
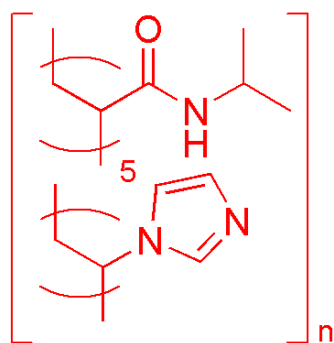
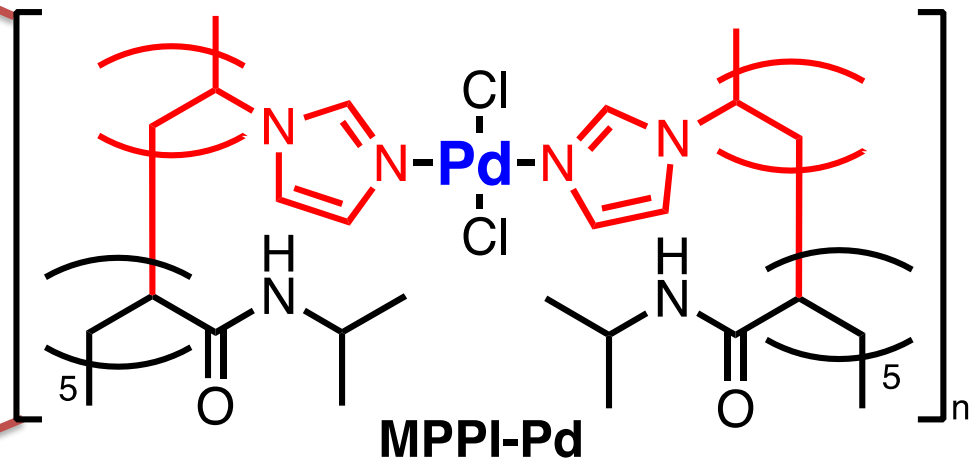
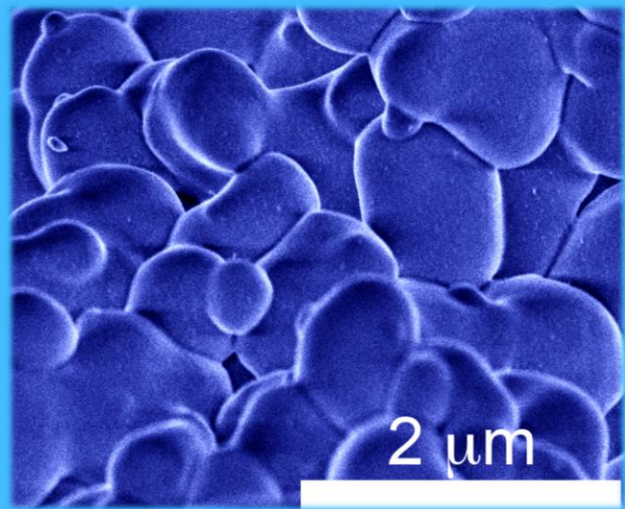


私たちが目指すグリーン固体ナノ触媒

触媒の**活性**（触媒の反応性・パワー）が高い。
触媒の**再利用**ができる
（水にも有機溶媒にも溶けない）。

12 つくる責任
つかう責任



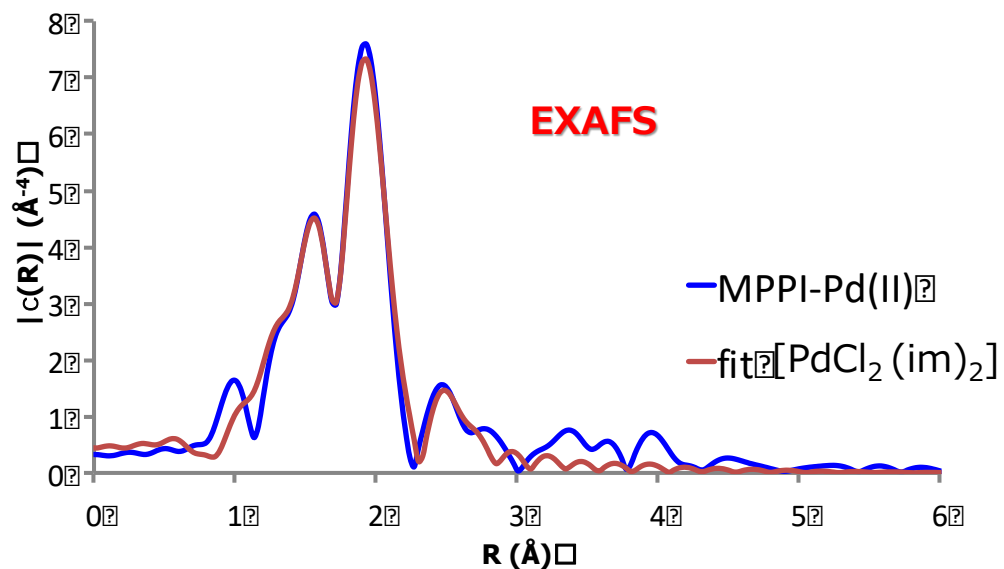
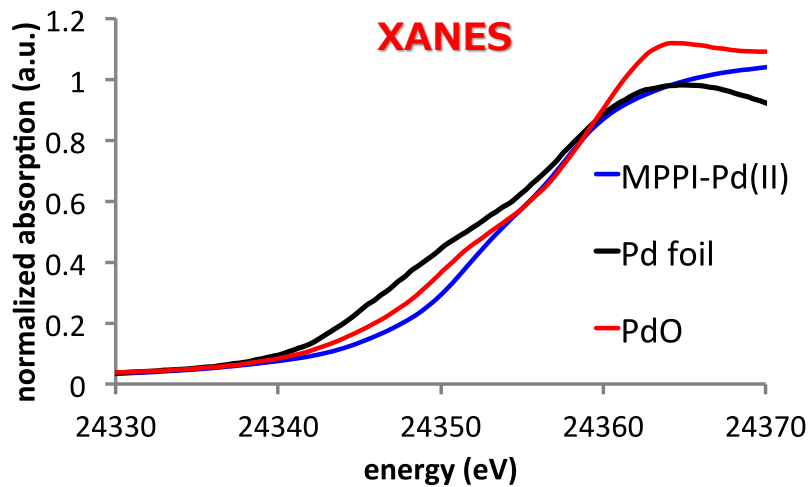
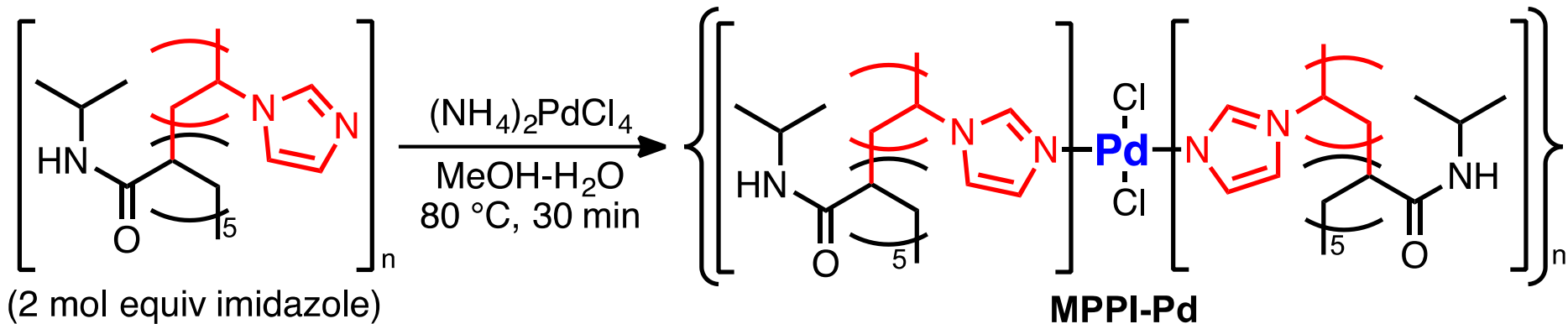


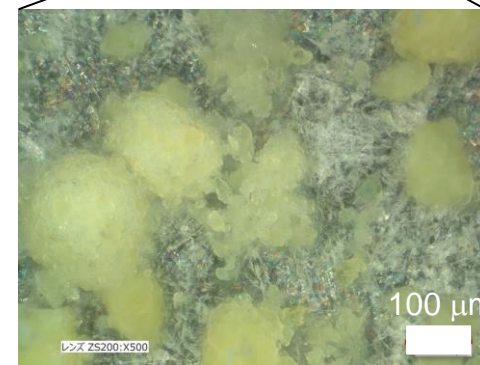
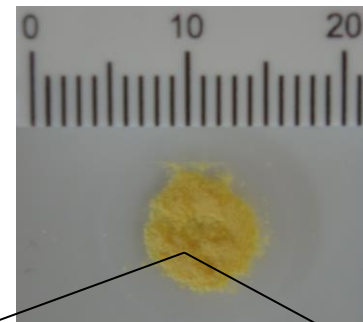
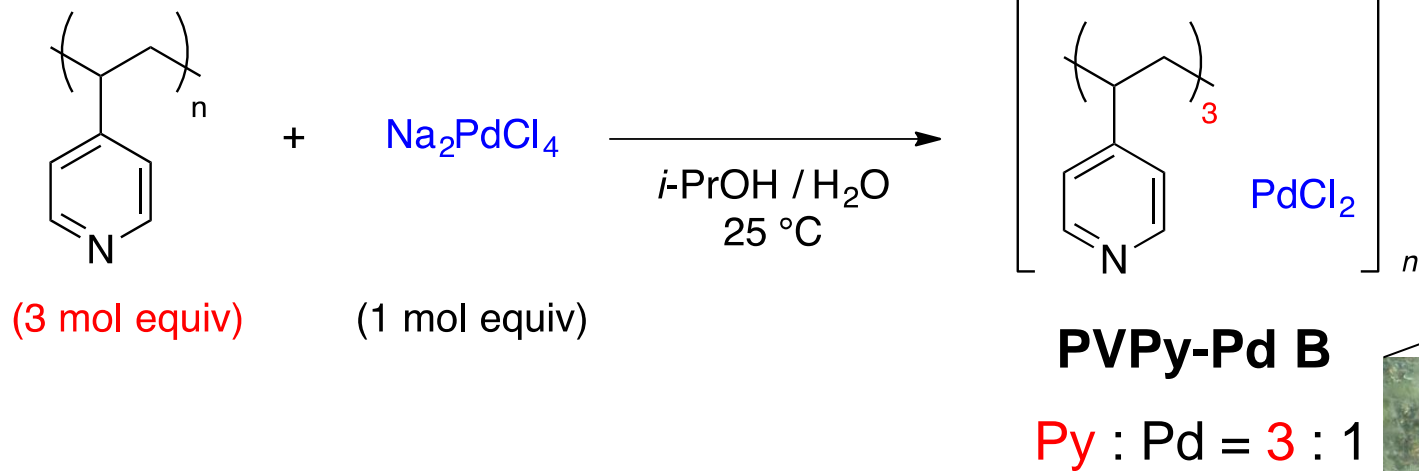
MPPI-Pd

M = Pd(II)Cl₂

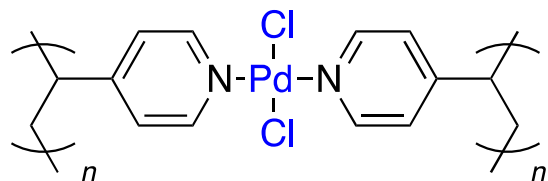


(2 mol equiv imidazole)



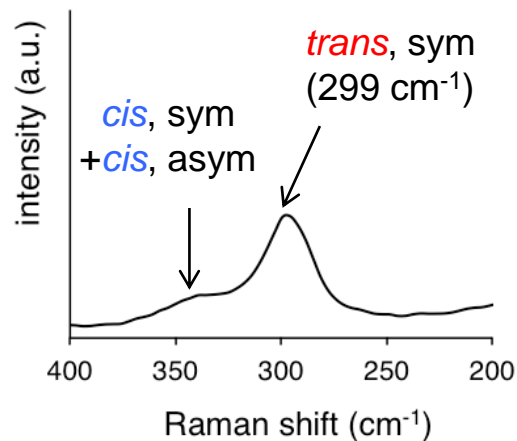


PVPy-Pd (Py : Pd = 3 : 1)

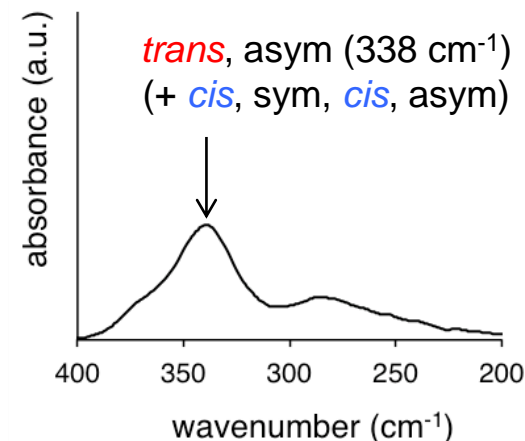


trans-(Py)₂PdCl₂

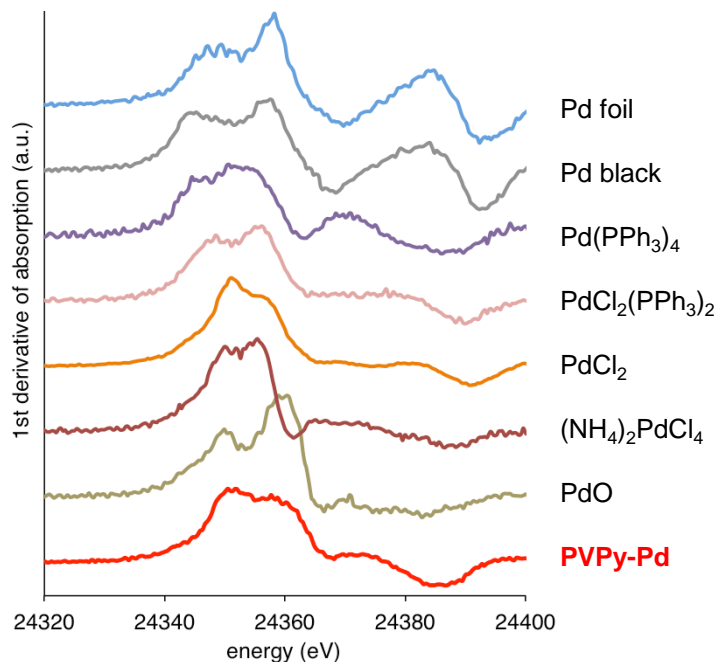
Raman (200-400 cm⁻¹)



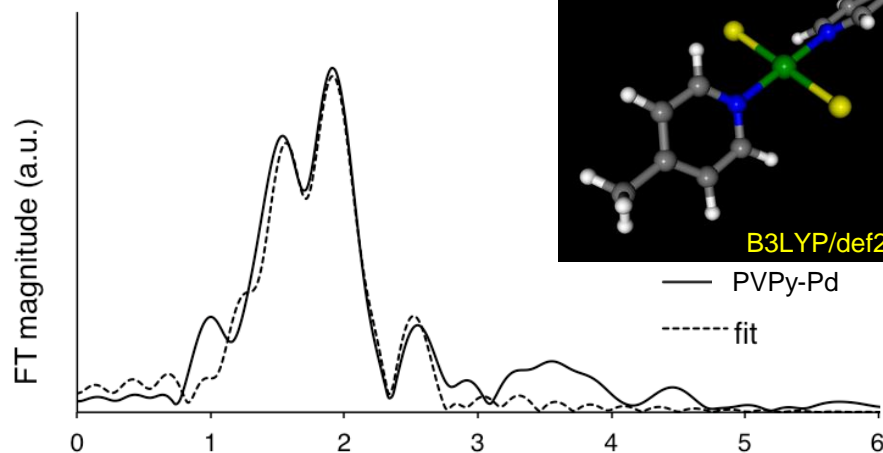
FIR (200-400 cm⁻¹)



XANES spectra

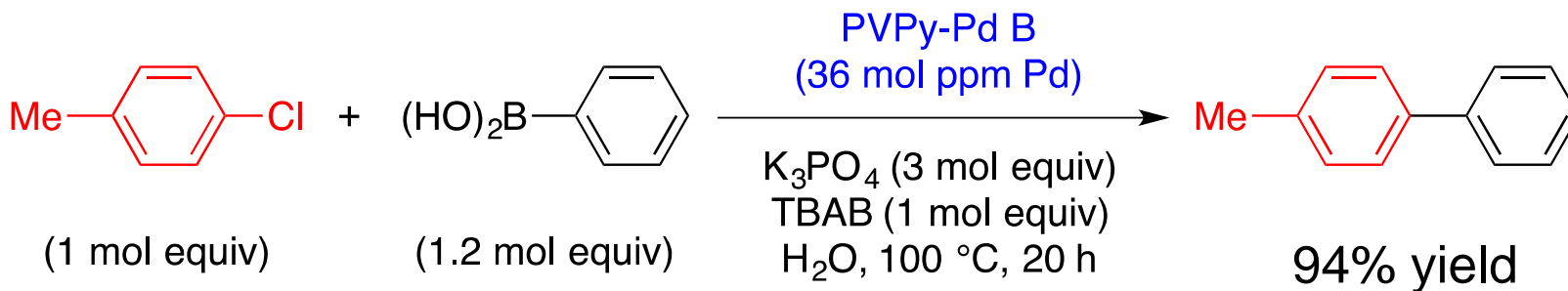


FT-EXAFS

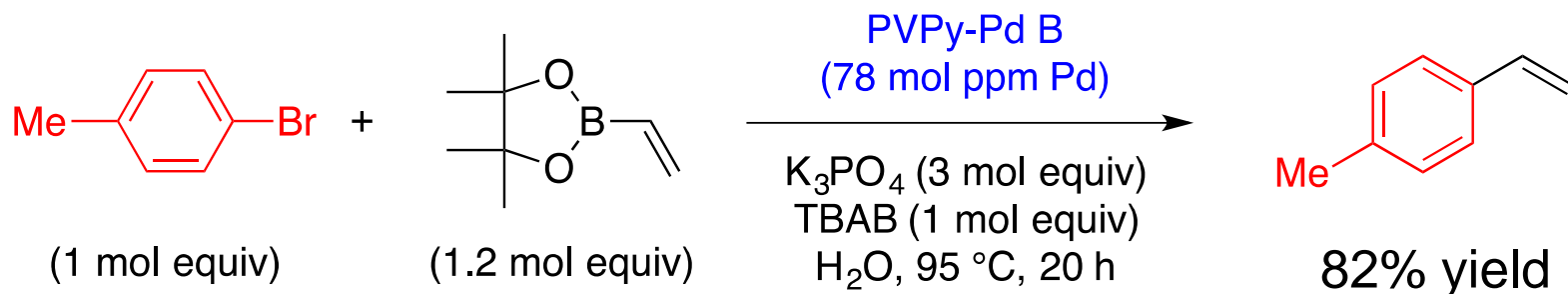
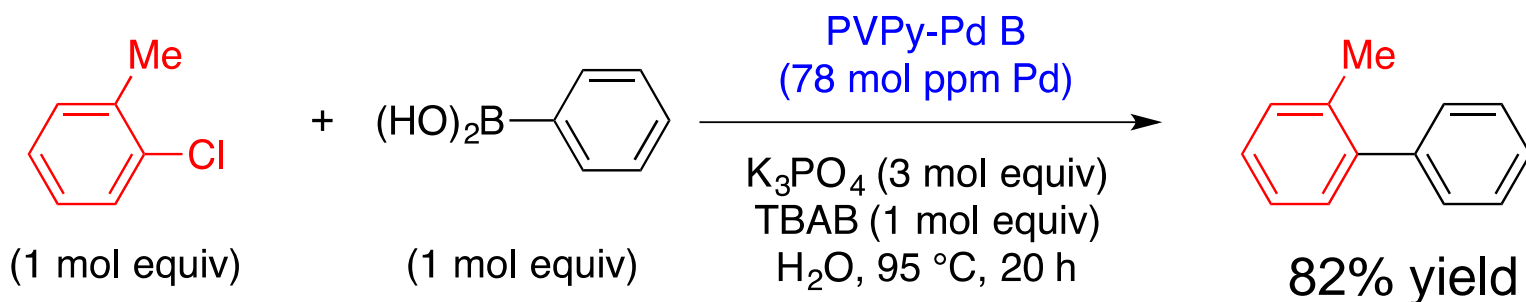


fitting parameters; distance (Å)
 R-factor = 1.6%, R-range = 1.2-2.8 Å,
 $\Delta E = 3.1$ eV, $\Delta R(N) = -0.02$ Å, $\Delta R(Cl) = -0.03$ Å, $\Delta R(C) = -0.01$ Å,
 $\sigma^2(N) = 0.003$ Å², $\sigma^2(Cl) = 0.004$ Å², $\sigma^2(C) = 0.006$ Å²

Suzuki-Miyaura Reaction Using PVPy-Pd

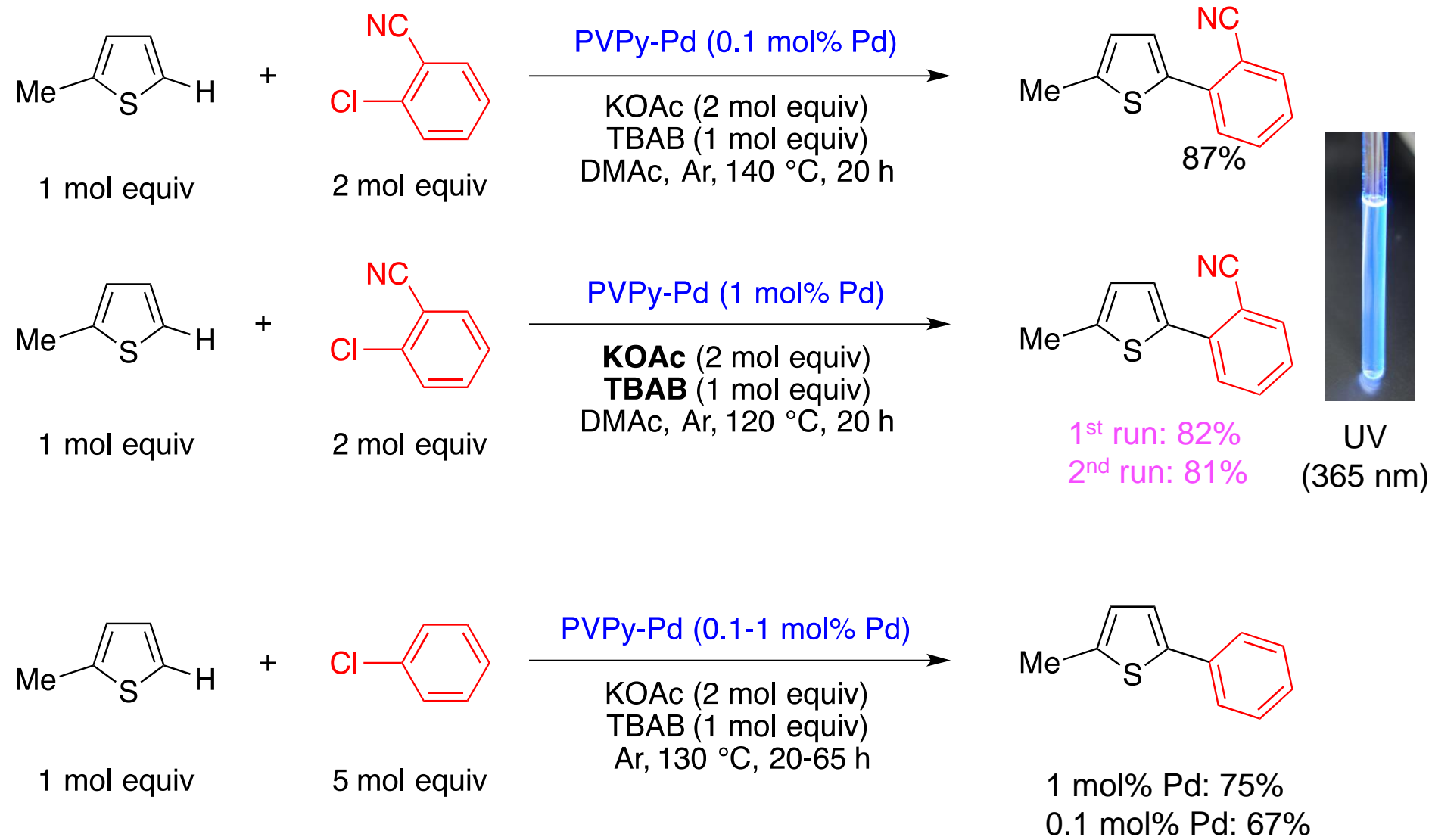


36 mol ppm = 0.0036 mol%



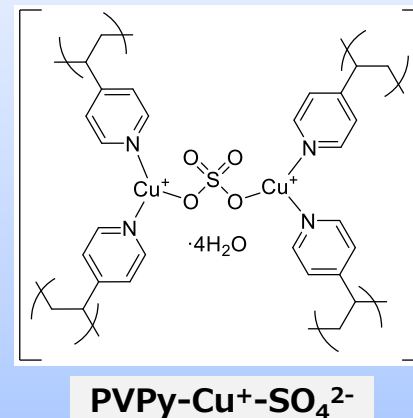
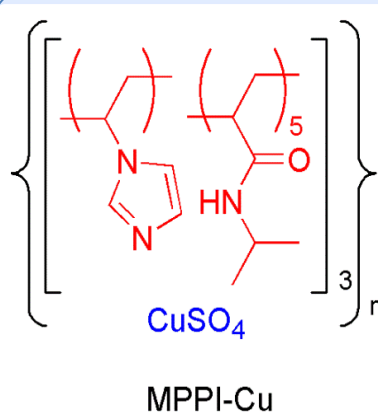


Direct Arylation of a Thiophene with ArCl



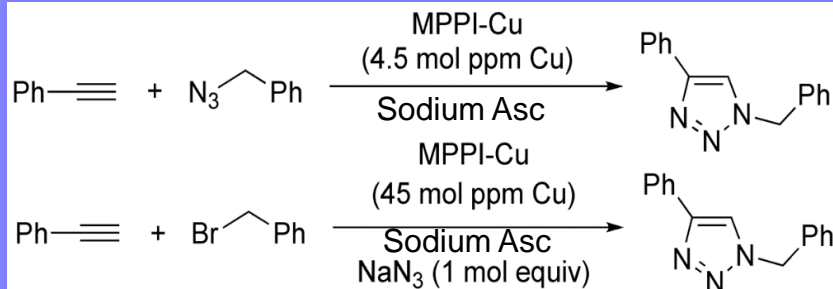
ユビキタス元素
銅の活用

(700円/1 kg)

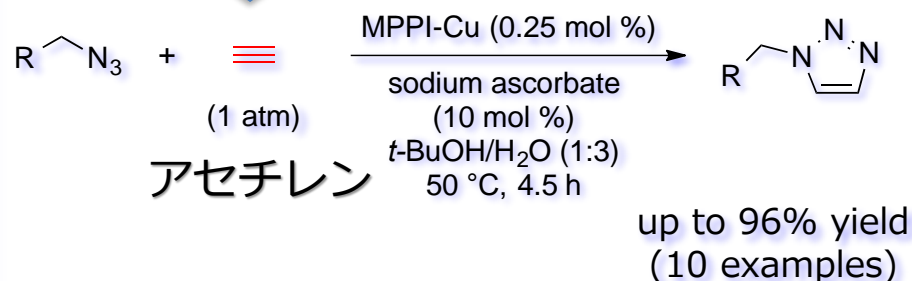


銅1から200,000の生成物

爆発性アセチレンガスの安全利用

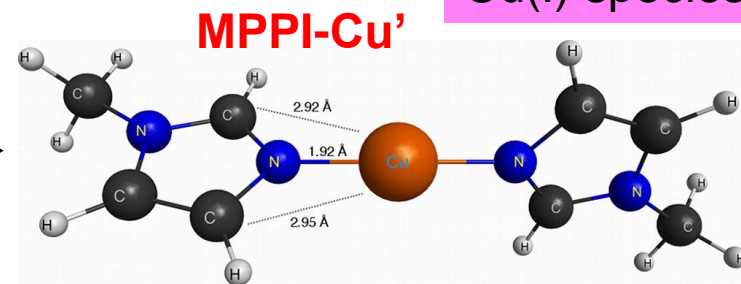
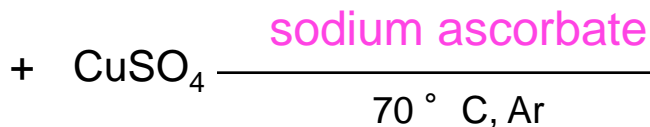
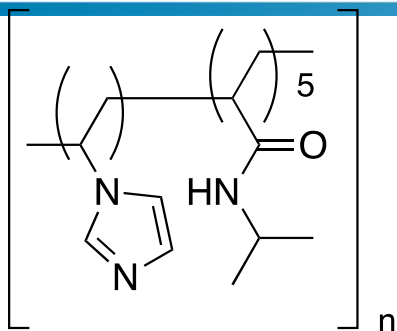


触媒の回収・再利用を実現



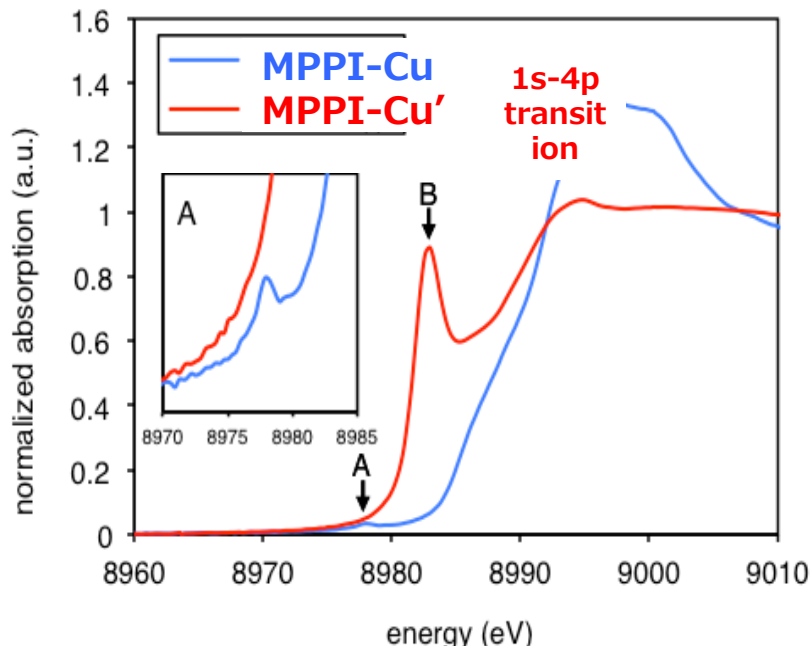
アセチレン：爆発性、高燃焼性
銅アセチリド：高い爆発性

Cu(I) species

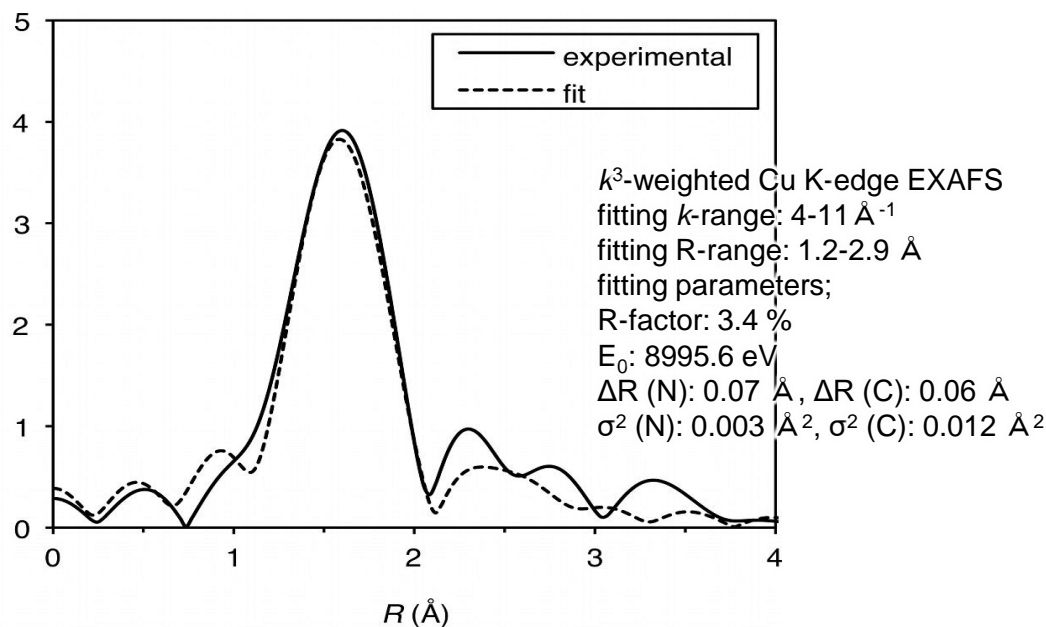


DFT-optimized structure of [Cu'(1-methylimidazole)₂]⁺ (B97D/def2-SVP)

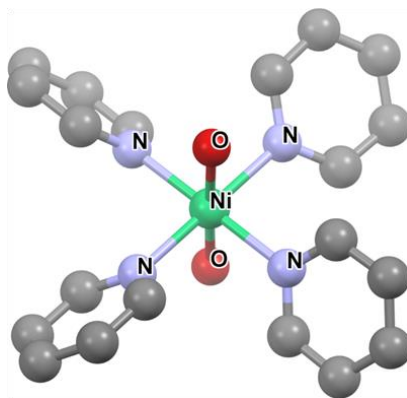
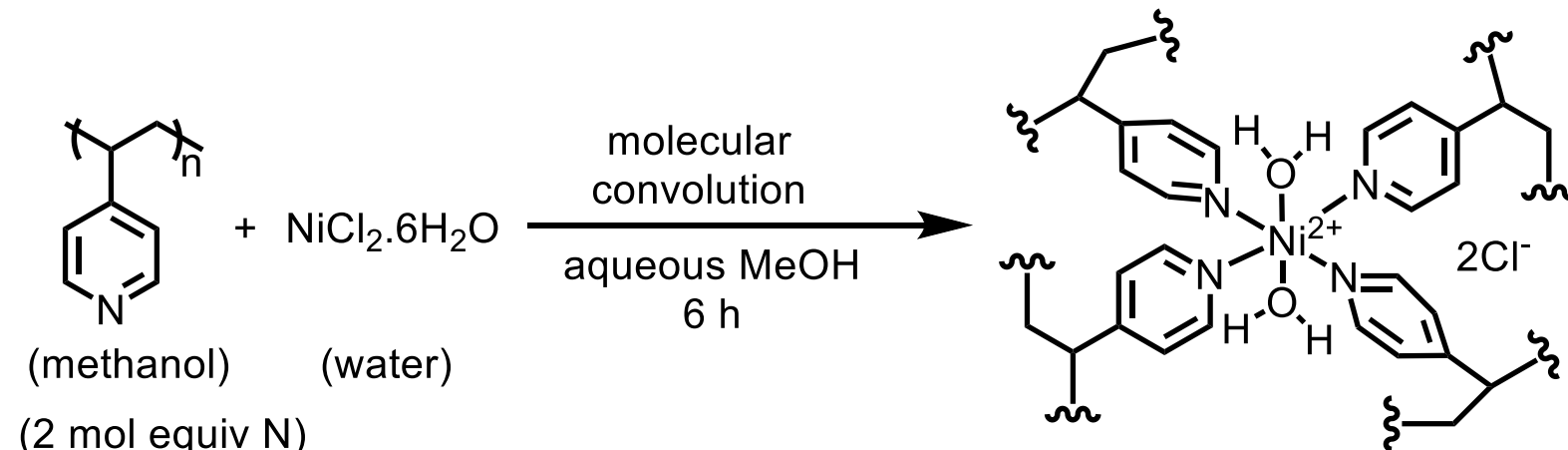
XANES of MPPI-Cu and MPPI-Cu'



FT-EXAFS of MPPI-Cu'



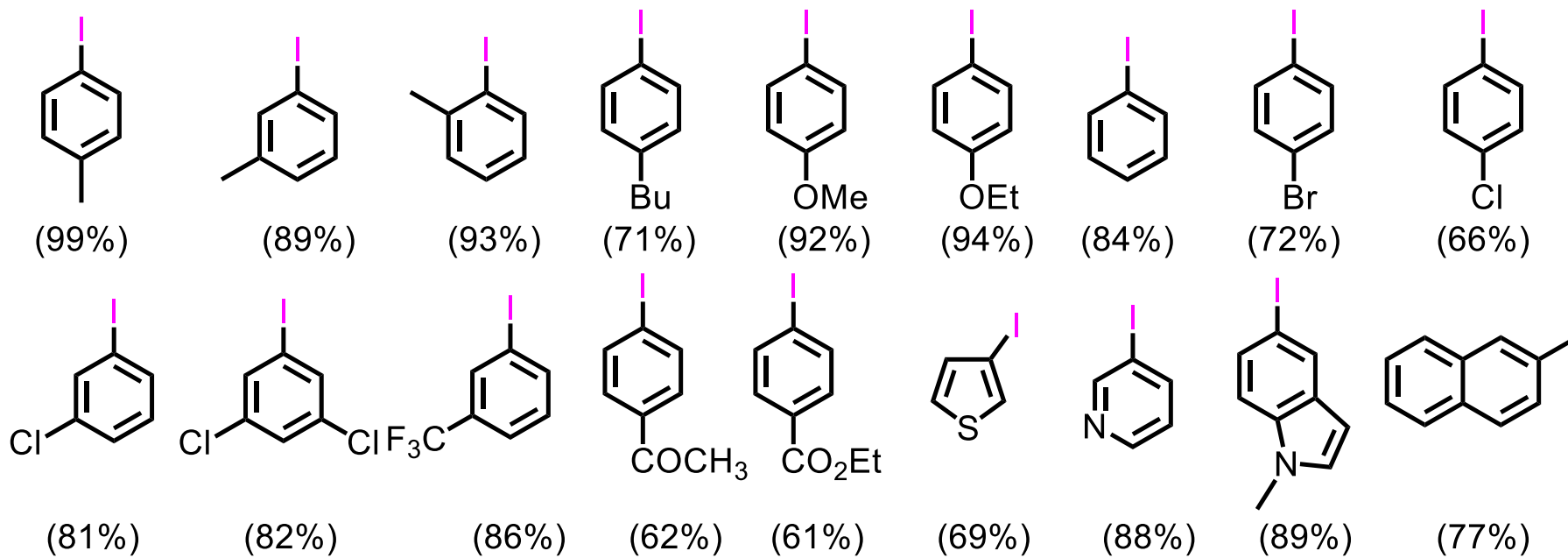
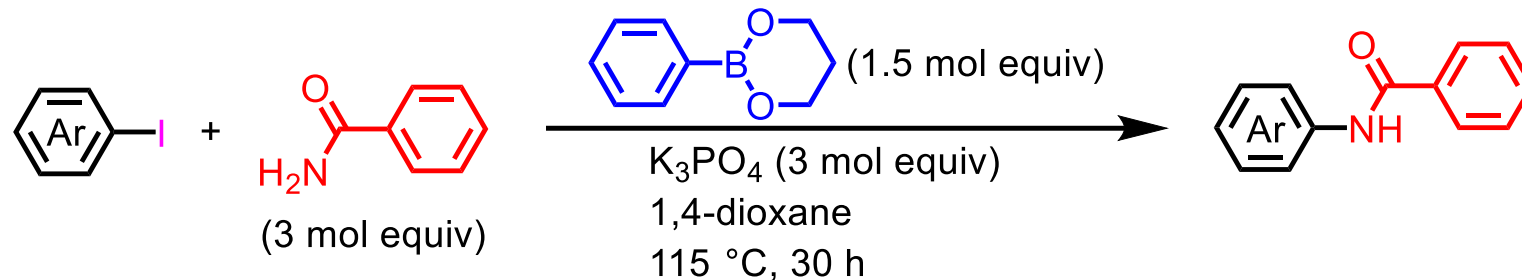
Preparation of Convuluted P4VP-NiCl₂



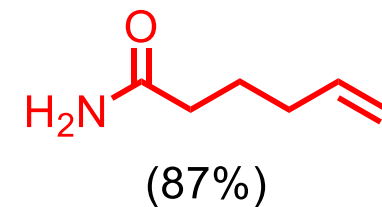
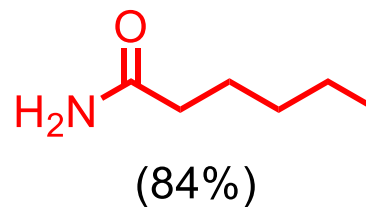
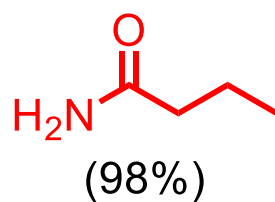
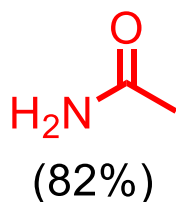
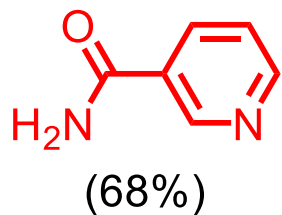
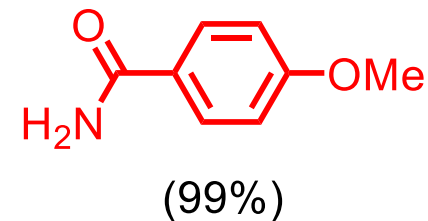
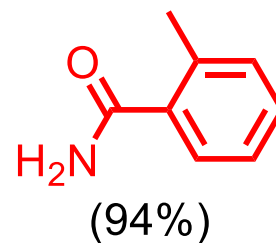
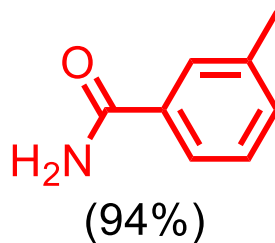
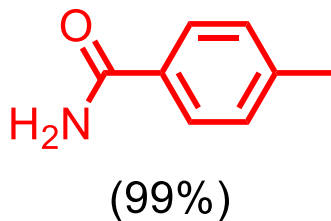
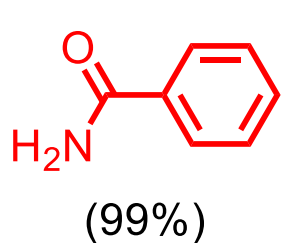
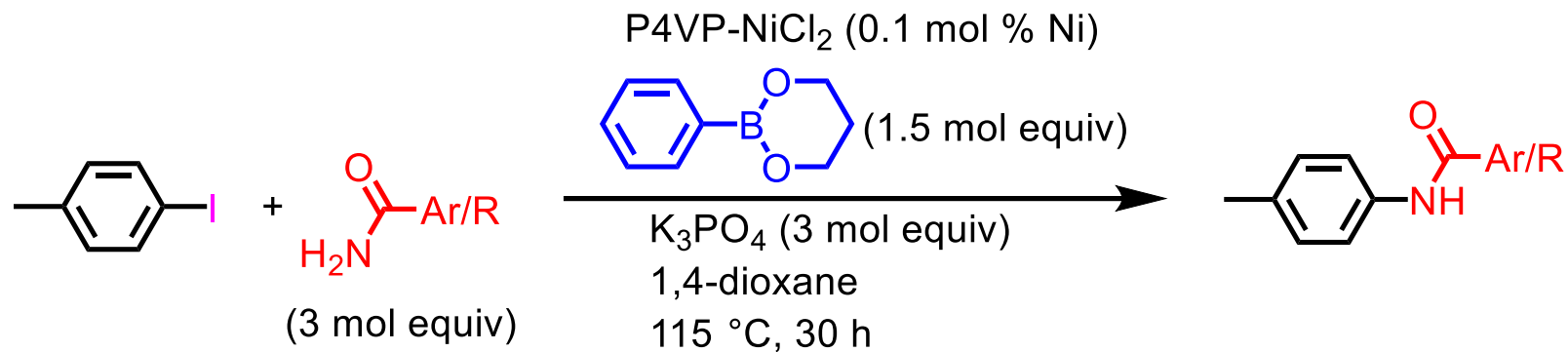
local structure near Ni of P4VP-NiCl₂

The catalyst is insoluble in water, methanol, ethanol, toluene, chloroform, and dioxane.

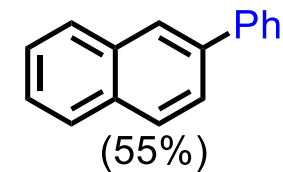
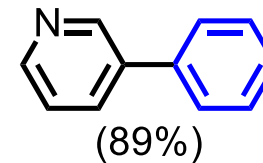
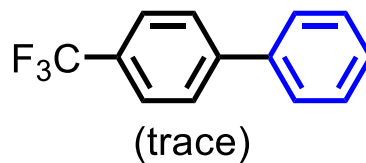
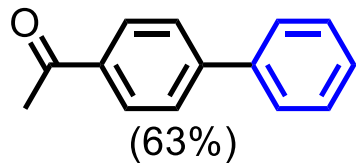
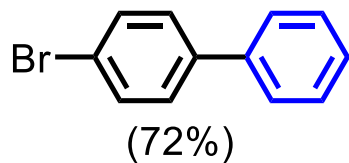
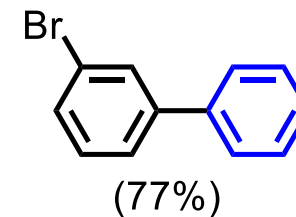
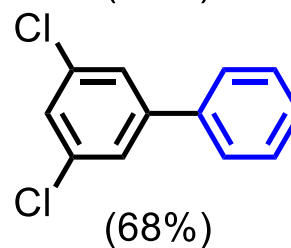
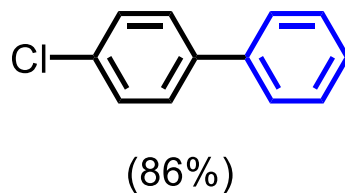
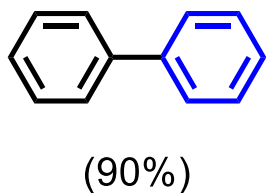
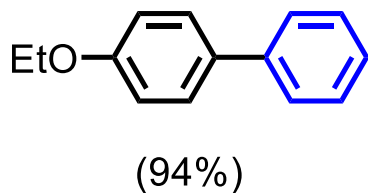
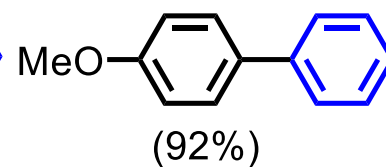
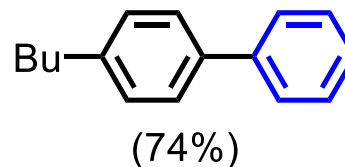
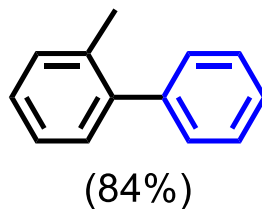
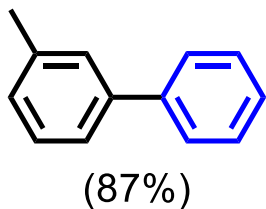
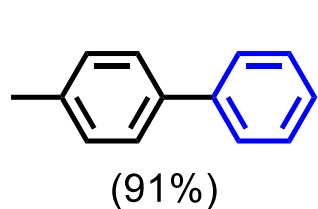
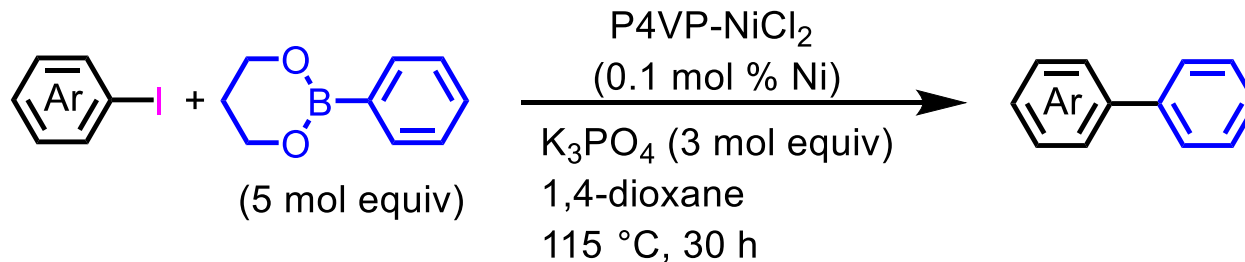
Scope of Aryl Iodide in Amidation



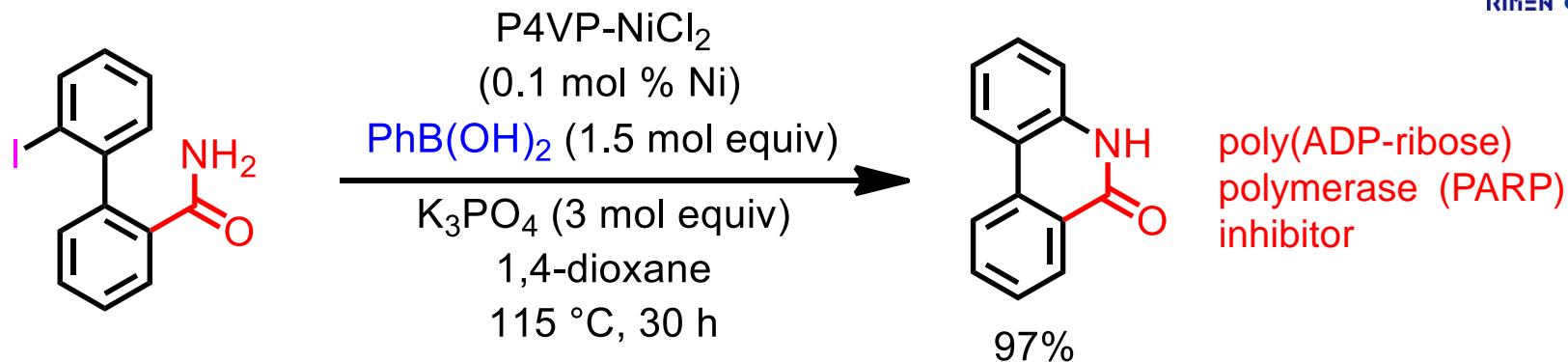
Substrate Scope of Amides



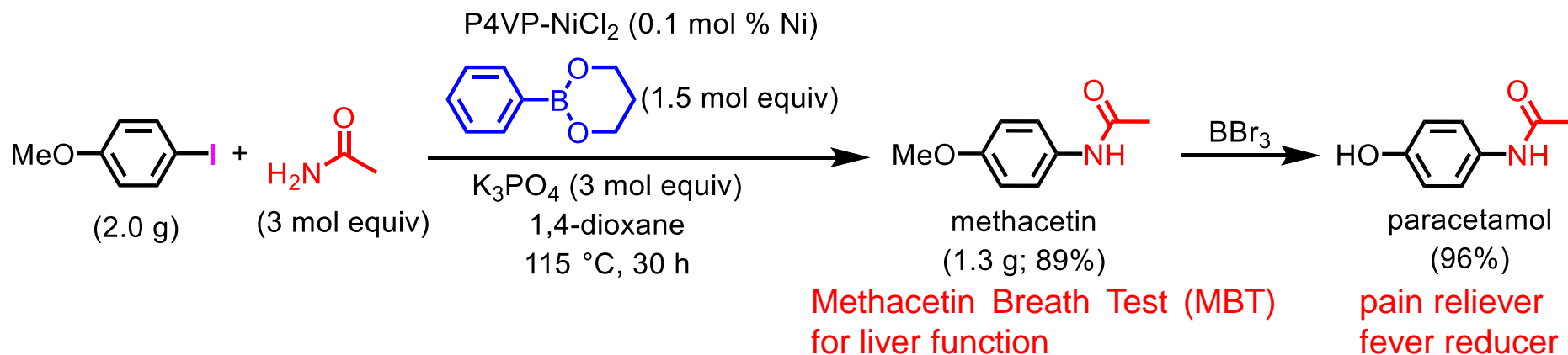
Convolutated Polymeric Nickel-Catalyzed Suzuki-Miyaura Type Coupling



Synthesis of Phenanthridinone via Lactamization



Gram Scale Reaction and Synthesis of Biologically Active Molecules



APPENDIX (CO₂変換反応)

